

$$P \sum_i \frac{\Delta x_i}{T_i} = \frac{P_0 l}{T_0}. \quad (28)$$

Прямое вычисление суммы требует расчета распределения температуры и последующего интегрирования. Можно поступить проще: выразим Δx_i из уравнения теплопроводности (19):

$$q = \lambda_0 \frac{T}{T_0} \frac{\Delta T}{\Delta x} S \Rightarrow \Delta x_i = \lambda_0 \frac{T_i}{T_0} \frac{\Delta T_i}{q} S \quad (29)$$

И после подстановки получим

$$\sum_i \frac{\Delta x_i}{T_i} = \sum_i \frac{1}{T_i} \lambda_0 \frac{T_i}{T_0} \frac{\Delta T_i}{q} S = \frac{\lambda_0 S}{q T_0} \sum_i \Delta T_i = \frac{\lambda_0 S}{q T_0} (T_1 - T_0). \quad (30)$$

Подставим найденное выражение для потока теплоты (22)

$$\sum_i \frac{\Delta x_i}{T_i} = \frac{\lambda_0 S}{q T_0} (T_1 - T_0) = \frac{\lambda_0 S}{\frac{\lambda_0 S (T_1^2 - T_0^2)}{2 T_0 l}} (T_1 - T_0) = \frac{2l}{(T_1 + T_0)}. \quad (31)$$

Теперь из уравнения (28) находим

$$P \sum_i \frac{\Delta x_i}{T_i} = \frac{P_0}{T_0} \Rightarrow P = P_0 \frac{T_1 + T_0}{2 T_0} \quad (32)$$

Наконец, подставляем в формула для количества теплоты

$$Q = \frac{5}{2} V \Delta P = \frac{5}{2} P_0 V \left(\frac{T_1 + T_0}{2 T_0} - 1 \right) = \frac{5}{4} P_0 V \frac{\Delta T}{T_0} \quad (33)$$

Численное значение поглощенной теплоты равно $Q = 915 \text{ Дж}$.

Задача 3 Опыты Ш. Кулона (Решение)

1. Свойства нити подвеса.

1.1 В описании Ш. Кулона приведена масса нити m , она легко выражается через объем и плотность серебра

$$m = \rho_{Ag} L \frac{\pi d^2}{4}. \quad (1)$$

Из этой формулы легко выразить диаметр нити:

$$d = \sqrt{\frac{4m}{\pi \rho_{Ag} L}}. \quad (2)$$

При численных расчетах следует все параметры выразить в единицах системы СИ:

$$d = \sqrt{\frac{4m}{\pi \rho_{Ag} L}} = \sqrt{\frac{4 \cdot \frac{1}{16} \cdot 64,8 \cdot 10^{-6} \text{ кг}}{\pi \cdot 10,5 \cdot 10^3 \frac{\text{кг}}{\text{м}^3} \cdot 28 \cdot 2,707 \cdot 10^{-2} \text{ м}}} = 2,55 \cdot 10^{-5} \text{ м} \quad (3)$$

Менее трех сотых миллиметра!

1.2 Модуль кручения определяется по формуле

$$G = \frac{M}{\varphi} = \frac{Fr}{\varphi}. \quad (4)$$

Подстановка численных значений с переводом в систему СИ дает следующее значение

$$G = \frac{Fr}{\varphi} = \frac{\frac{1}{340} \cdot 64,8 \cdot 10^{-6} \cdot 9,81H \cdot 4 \cdot 2,707 \cdot 10^{-2} \text{ м}}{2\pi} = 8,055 \cdot 10^{-9} H \cdot \text{м} = 8,1 \cdot 10^{-9} H \cdot \text{м} \quad (5)$$

2. Фундаментальный закон электричества.

2.1 Решение этой части задачи начнем с цитаты из использованного мемуара: «Расстояние между двумя шариками, когда они удалены друг от друга действием взаимного отталкивания, измеряется в точности не углом, который они образуют, а хордой дуги, которая соединяет их центры. Так же и плечо в крайнем положении, где проявляется действие, измеряется не половиной длины дуги, или радиусом, а косинусом половины угла...»

Воспользуемся подсказкой самого Шарля Кулона, рассмотрим условия равновесия коромысла крутильных весов. На рисунке показана геометрия опыта и направление силы взаимодействия между шариками \vec{F} . Из рисунка следует, что расстояние между шариками равно

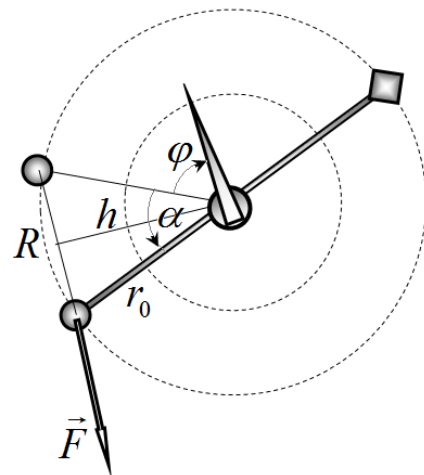
$$R = 2r_0 \sin \frac{\alpha}{2}. \quad (6)$$

Плечо силы взаимодействия

$$h = r_0 \cos \frac{\alpha}{2}. \quad (7)$$

Угол закручивания нити

$$\varphi_{\Sigma} = \alpha + \varphi. \quad (8)$$



Условие равновесия коромысла весов имеет вид

$$G(\alpha + \varphi) = Fr_0 \cos \frac{\alpha}{2}. \quad (9)$$

Следовательно, сила взаимодействия может быть рассчитана по формуле

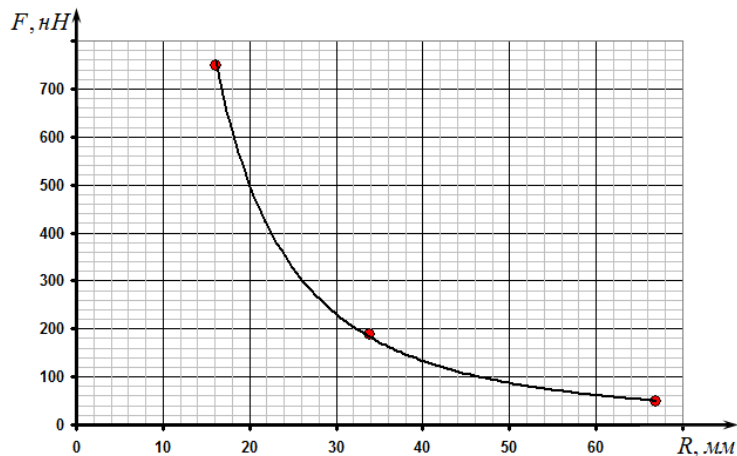
$$F = \frac{G(\alpha + \varphi)}{r_0 \cos \frac{\alpha}{2}}. \quad (10)$$

Расстояние между шариками рассчитывается по формуле (6).

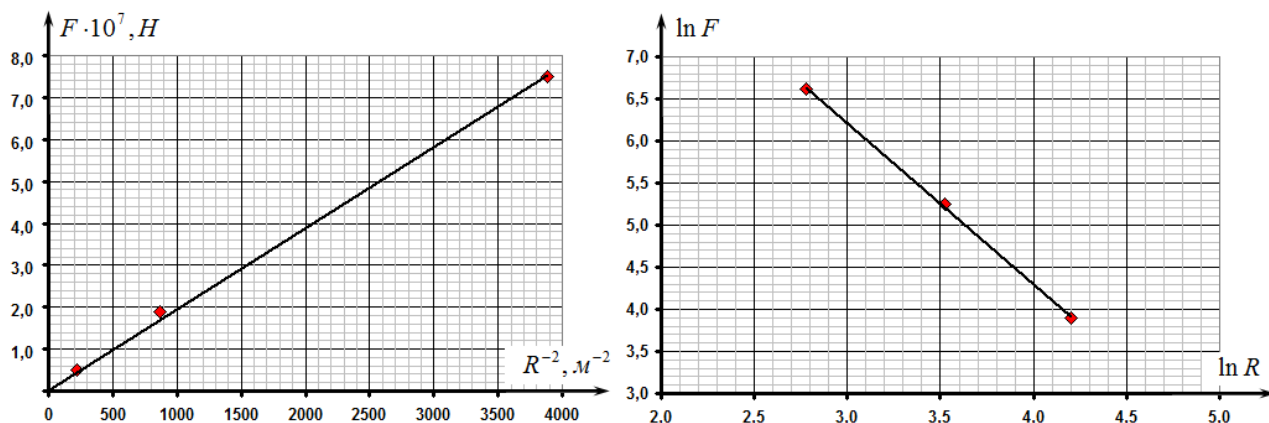
Результаты расчетов по этим формулам приведены в Таблице (1). График этой функции показан на рисунке.

Таблица 1. Расчет сил и расстояний.

N	α°	φ°	F , нН	R , мм
1	36	0	49,1	66,9
2	18	126	189,3	33,9
3	8,5	567	749,3	16,0



2.2 Для доказательства закона Кулона ($F = \frac{A}{R^2}$) следует провести линеаризацию зависимости силы от расстояния. Эту линеаризацию можно провести различными способами. например, построить зависимость $F(R^{-2})$. Наиболее предпочтительной линеаризацией является построение графика в логарифмическом масштабе $\ln F(\ln R)$. В этом случае коэффициент наклона будет равен показателю степени в зависимости $F = AR^n$. На рисунке приведены графики обеих линеаризованных зависимостей.



Действительно, коэффициент наклона в логарифмической зависимости примерно равен -1,9, что с учетом неизбежных погрешностей измерений можно принять равным -2.

Также видно, что зависимость $F(R^{-2})$ близка к линейной, поэтому эта зависимость также подтверждает закон Кулона.

2.3 В системе СИ закон Кулона имеет вид

$$F = \frac{1}{4\pi\epsilon_0} \frac{q^2}{R^2}.$$

С помощью этой формулы можно вычислить заряды шариков. Для повышения точности следует провести усреднение по трем результатам измерений. Один из возможных вариантов такого усреднения – использование зависимости $F(R^{-2})$. В этой зависимости коэффициент наклона равен

$$a = \frac{q^2}{4\pi\epsilon_0} = 1,94 \cdot 10^{-10} H \cdot m^2, \quad (11)$$

Откуда следует, что

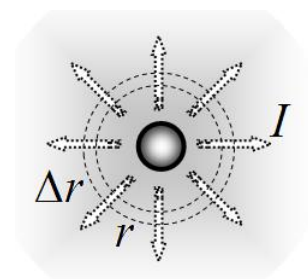
$$q = \sqrt{4\pi\epsilon_0 a} = \sqrt{4\pi \cdot 8,85 \cdot 10^{-12} \cdot 1,94 \cdot 10^{-10}} = 1,5 \cdot 10^{-10} Кл. \quad (12)$$

3. Утечка заряда.

Понятно, что уменьшение угла отклонения связано с утечкой зарядов с шариков. Поэтому в данной части задачи необходимо найти ответы на два вопроса: первый, как зависит заряд шарика от времени; второй – как связано изменение угла отклонения с изменением заряда.

Можно считать, что шарик находится в однородной слабопроводящей среде, а электрический ток протекает от шарика до бесконечности.

В этом случае разность потенциалов равна потенциалу шарика



$$\Delta\phi = \frac{q}{4\pi\epsilon_0 b} \quad (13)$$

Здесь обозначено b - радиус шарика (чтобы не путать с R - так мы обозначим сопротивление среды).

Для расчета сопротивления среды ее следует разделить на тонкие сферические слои. Сопротивление отдельного слоя радиуса r и толщины Δr равно

$$\Delta R = \rho \frac{\Delta r}{4\pi r^2}. \quad (14)$$

Так как радиально растекающийся ток протекает последовательно через слои, то общее сопротивление равно сумме сопротивлений всех слоев

$$R = \sum_i \rho \frac{\Delta r_i}{4\pi r_i^2}. \quad (15)$$

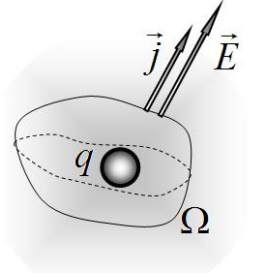
Для выполнения суммирования (точнее интегрирования) можно сослаться на традиционный способ вычисления потенциала поля, создаваемого точечным источником – здесь сумма имеет тот же вид, поэтому

$$R = \sum_i \rho \frac{\Delta r_i}{4\pi r_i^2} = \frac{\rho}{4\pi b}. \quad (16)$$

Таким образом, находим, что сила тока утечки равна

$$I = \frac{\Delta\phi}{R} = \frac{q}{\rho\epsilon_0}. \quad (17)$$

Примечание. Этот же результат можно получить более изящным способом, используя теорему Гаусса. Мысленно окружим один из шариков произвольной замкнутой поверхностью Ω . Сила тока, стекающего с шарика равна потоку вектора плотности тока \vec{j} через эту поверхность $I = \Phi_j$. По закону Ома в дифференциальной форме плотность тока связана с напряженностью электрического поля соотношением $\vec{j} = \frac{1}{\rho} \vec{E}$. Поэтому поток вектора



плотности тока связан с потоком вектора напряженности таким же соотношением: $\Phi_j = \frac{1}{\rho} \Phi_E$.

Поток вектора напряженности поля определяется теоремой Гаусса $\Phi_E = \frac{q}{\epsilon_0}$. Окончательно

получаем $I = \Phi_j = \frac{1}{\rho} \Phi_E = \frac{q}{\rho\epsilon_0}$. Полученное соотношение перепишем в виде

$$I = \frac{q}{\rho\epsilon_0} = -\frac{\Delta q}{\Delta t} \Rightarrow \frac{\Delta q}{q} = -\frac{1}{\rho\epsilon_0} \Delta t. \quad (18)$$

Рассмотрим теперь, как связано угла смещения шарика с изменением зарядов на шариках. Сила взаимодействия выражается через угол смещения α посредством соотношения (10). Используя закон Кулона, можем записать

$$F = \frac{G(\alpha + \varphi)}{r_0 \cos \frac{\alpha}{2}} = \frac{1}{4\pi\epsilon_0} \frac{q^2}{R^2} = \frac{1}{4\pi\epsilon_0} \frac{q^2}{\left(2r_0 \sin \frac{\alpha}{2}\right)^2} \Rightarrow q^2 = B \frac{(\alpha + \varphi) \sin^2 \frac{\alpha}{2}}{\cos \frac{\alpha}{2}}, \quad (19)$$

где B - некоторая постоянная величина. Эта формула выражает связь между углом смещения

и зарядами шариков. Обозначим функцию $f(\alpha) = \frac{(\alpha + \varphi) \sin^2 \frac{\alpha}{2}}{\cos \frac{\alpha}{2}}$. Изменение заряда

определяется изменением этой функции. По-видимому, в данном случае проще провести численные расчеты изменения этой функции $\Delta f = f(\alpha - \Delta\alpha) - f(\alpha)$, хотя можно воспользоваться и приближенными формулами (вычислением производных). Учитывая, что изменения заряда мало, запишем

$$\begin{aligned} q^2 &= Bf(\alpha) \Rightarrow \\ 2q\Delta q &= B\Delta f \Rightarrow \frac{\Delta q}{q} = \frac{1}{2} \frac{\Delta f}{f(\alpha)} \end{aligned} \quad (20)$$

Численный расчет относительного изменения заряда (при $\alpha = 30^\circ$, $\Delta\alpha = -1^\circ$, $\varphi = 50^\circ$) дает значение:

$$\frac{\Delta q}{q} = \frac{1}{2} \frac{\Delta f}{f(\alpha)} = -0,039, \quad (21)$$

Примечание. Для оценки можно приближенно считать, что расстояние между шариками равно длине дуги между ними $r_0\alpha$, а плечо силы равно r_0 . Тогда условие равновесия примет вид

$$G(\alpha + \varphi) = \frac{q^2}{4\pi\epsilon_0 r_0^2 \alpha^2} r_0 \alpha.$$

Тогда проводя аналогичные (20) преобразования, получим

$$\begin{aligned} q^2 &= B_1 \alpha(\alpha + \varphi) \Rightarrow \\ 2q\Delta q &= B_1(2\alpha + \varphi)\Delta\alpha \Rightarrow \frac{\Delta q}{q} = \frac{1}{2} \frac{2\alpha + \varphi}{\alpha(\alpha + \varphi)} \Delta\alpha = -0,023. \end{aligned} \quad (22)$$

Теперь вернемся к формуле (18), из которой можно выразить искомое удельное сопротивление воздуха

$$\rho = - \frac{\Delta t}{\epsilon_0 \left(\frac{\Delta q}{q} \right)} = \frac{3 \cdot 60}{8,85 \cdot 10^{-12} \cdot 0,039} \approx 5,2 \cdot 10^{14} \text{ Ом} \cdot \text{м}. \quad (23)$$